

АКАДЕМИЯ НАУК БЕЛАРУСИ
АНК "ИНСТИТУТ ТЕПЛО-
И МАССООБМЕНА ИМ. А.В. ЛЫКОВА"

ТЕПЛОМАССООБМЕН -
ММФ - 92
HEAT / MASS TRANSFER -
MIF - 92

II МИНСКИЙ МЕЖДУНАРОДНЫЙ ФОРУМ
(18 - 22 МАЯ 1992)

Том VI

ТЕПЛОМАССООБМЕН
В РЕОЛОГИЧЕСКИХ СИСТЕМАХ

Минск 1992

Л.М. Ульев

НЕИЗОТЕРМИЧЕСКОЕ ТЕЧЕНИЕ ВЫСОКОВЯЗКОЙ ЖИДКОСТИ
В КРУГЛОМ КОНФУЗОРЕ

Практически все процессы переработки и производства термопластичных полимеров неразрывно связаны с течением их расплавов в круглых конвергентных каналах. Многие расплавы в пределах изменения параметров переработки ведут себя как высоковязкие ньютоновские жидкости с аррениусовской зависимостью коэффициента вязкости от температуры [1]. Поэтому при исследовании их течения необходимо учитывать как диссипацию механической энергии, так и теплообмен с окружающей средой.

Полимерные течения, как правило, являются ползущими [2] с характерными значениями критерия Рейнольдса $Re \leq 10^{-2}$, для которых длина участка стабилизации механических возмущений составит величину $l_{н.г} \approx 10^{-6}$ м. Величину участка релаксаций температурных возмущений можно оценить по числу Прандтля, характерному для полимеров ($Pr \approx 10^7$), т.е. $l_{н.т} \approx Pr \cdot l_{н.г} \approx 10$ м.

Оценивая с помощью этой величины производные в уравнении теплообмена, а также учитывая большое значение числа $Pe = Pr \cdot Re$ и то, что в конфузоре с углом раствора $2\theta_0 < 120^\circ$ при медленных течениях угловой составляющей скорости V_θ в уравнениях движения, записанных в сферических координатах, можно пренебречь по сравнению с радиальной V_r [3], упростим систему уравнений гидродинамики и теплообмена для осесимметричного течения в конфузоре:

$$\frac{\partial \Pi}{\partial \xi} = 2 \frac{\partial}{\partial \xi} \left[m \frac{\partial v}{\partial \xi} \right] + \frac{\sqrt{1-\tau^2}}{\xi^2} \frac{\partial}{\partial \tau} \left[m \sqrt{1-\tau^2} \frac{\partial v}{\partial \tau} \right] + \frac{6m}{\xi} \frac{\partial v}{\partial \xi} - \frac{m\tau}{\xi^2} \frac{\partial v}{\partial \tau}, \quad (1)$$

$$\frac{\partial \Pi}{\partial \tau} = \frac{2m}{\xi} \frac{\partial v}{\partial \tau} + \frac{\partial}{\partial \xi} \left[m \frac{\partial v}{\partial \tau} \right] + \frac{2}{\xi} \frac{\partial}{\partial \tau} \left[m v \right], \quad (2)$$

$$\frac{1}{\xi^2} \frac{\partial}{\partial \xi} \left[\xi^2 v \right] - \frac{1}{\xi} \frac{\partial}{\partial \tau} \left[\sqrt{1-\tau^2} \omega \right] = 0, \quad (3)$$

$$v \frac{\partial \theta}{\partial \xi} - \omega \frac{\sqrt{1-\tau^2}}{\xi^2} \frac{\partial \theta}{\partial \tau} = \frac{1}{Pe \xi^2} \frac{\partial}{\partial \tau} \left[(1-\tau^2) \frac{\partial \theta}{\partial \tau} \right] + \frac{Gn}{Pe} \Phi, \quad (4)$$

где $\xi = \frac{R}{R_0}$, $\tau = \cos \theta$, $\Pi = \frac{(P-P_0)R_0}{\mu_0 v_0}$, $\beta = \frac{R^* T_0}{E}$, $\theta = \frac{E}{R^* T_0} (T-T_0)$, $v = \frac{v_R}{v_0}$, $\omega = \frac{v_\theta}{v_0}$,

$$m = \frac{\mu}{\mu(T_0)} = \exp\left[-\frac{\theta}{1+\beta\theta}\right], \quad Gn = \frac{\mu(T_0)v_0^2}{\lambda R^* T_0}, \quad Pe = \frac{v_0 R_0}{\alpha}, \quad v_0 = \frac{Q}{2\pi(1-\cos\theta_0)R_0 r_0}$$

$$\Phi = m \frac{1}{\xi^2} \left[4v^2 + (1-\tau^2) \left(\frac{\partial v}{\partial \tau} \right)^2 \right] + 2m \left(\frac{\partial v}{\partial \xi} \right)^2$$

Граничными условиями являются условие симметрии для скорости и температуры на оси течения, условие прилипания на стенке для скорости и условие 3-го рода для температуры, условие постоянства расхода, а соотношение $l_{н.г} \ll l_{н.т}$ позволяет считать распределения скорости и давления на входе соответствующими распределению Харрисона.

Для решения этой системы сопряженных уравнений область течения условно разбивается на N концентрических конических слоев, в каждом из которых вязкость считается постоянной и равной вязкости при средней температуре слоя. В результате получим систему $3N$ уравнений гидродинамики и теплообмена, к использованным граничным условиям добавится $4(N-1)$ условий сопряжения составляющих скорости, напряжений сдвига и условий теплообмена на границах слоев.

Из уравнений гидродинамики получаем выражения для составляющих скорости в слоях, а усредняя (4) и (1) по поперечному сечению i -го слоя, получим систему обыкновенных дифференциальных уравнений, определяющих средние температуры и давления в слоях:

$$v_1 \frac{1}{\xi^2} u_1(\tau), \quad \omega_1 = \frac{1}{\xi \sqrt{1-\tau^2}} \sum_{i=1}^1 (\tau_1 - \tau_{i-1}) \frac{d\bar{u}_1}{d\xi}, \quad \tau_1 \leq \tau \leq \tau_{1-1}$$

$$\frac{d\bar{\theta}_1}{d\xi} = \frac{1}{\xi (\tau_1 - \tau_{i-1}) \bar{v}_1} \left[\sqrt{1-\tau_{i-1}^2} (\omega_{i-1} + St_{i-1}) (\bar{\theta}_1 - \bar{\theta}_{i-1}) - \sqrt{1-\tau_1^2} (\omega_1 + St_1) \right. \\ \left. \times (\bar{\theta}_1 - \bar{\theta}_{1+1}) \right] + \frac{Gn}{Pe} \frac{\bar{\Phi}_1}{\bar{v}_1}, \quad i=1, 2, \dots, N,$$

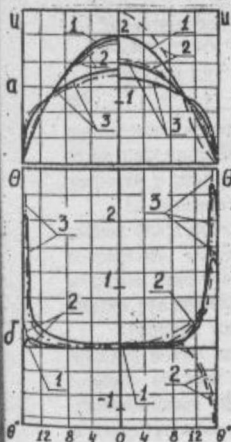
$$\frac{d\Pi_1}{d\xi} = \frac{3m_N k_N}{P_2(\tau_N) \xi^4} \left[1 - (\tau_1^2 + \tau_1 \tau_{1+1} + \tau_{1+1}^2) \right], \quad 1 = 1, 2, \dots, N,$$

$$\text{где } u_1(\tau) = k_N \left\{ \frac{m_N}{P_2(\tau_N)} \left[\frac{P_2(\tau)}{m_1} + S_1 \right] - 1 \right\}, \quad S_1 = \sum_{K=1}^{N-1} \left(\frac{1}{m_{K+1}} - \frac{1}{m_K} \right) P_2(\tau_K),$$

$$k_N = \frac{\Lambda(\tau_N - 1)}{\sum_{K=1}^N \left\{ \frac{m_N [(\tau_K^3 - \tau_K) - (\tau_{K-1}^3 - \tau_{K-1})]}{2 m_K P_2(\tau_K)} - \left[\frac{m_N}{P_2(\tau_N)} S_{K-1} \right] (\tau_K - \tau_{K-1}) \right\}}, \quad P_2(\tau) -$$

функция Лежандра первого рода и второго порядка, $St_1 = \frac{Nu_1}{Pe}$, а $Nu_1 -$

коэффициенты кондуктивного теплообмена между слоями, определяемые при рассмотрении теплообмена между тремя соседними слоями, $\theta_{N+1} = \theta_a -$ температура окружающей среды, $d\Pi/d\xi$ вычисляется дифференцированием средней величины u и в итоге выражается через $d\theta/d\xi$.



Полученная система уравнений интегрировалась численно методом Гира для расплавов с параметрами $\Lambda = 8,67 \cdot 10^{-2}$; $2\theta_0 = 30^\circ$; $\beta = 1,44 \cdot 10^{-2}$; $Pe = 2,02 \cdot 10^4$; $Gn = 1,654$; $Bi = 169,8$ и различных температур окружающей среды (1 - $\theta_a = 0$; 2 - $\theta_a = 1,5$; 3 - $\theta_a = -1,5$), а также для течения с адиабатической стенкой.

Рис.1. Распределение по угловой координате скорости (а) и температуры (б). Левая половина: сплошные линии - для течения при $\theta_a = 0$; штрихпунктирные - при адиабатической стенке. Правая половина: сплошные линии - при $\theta_a = 1,5$; пунктирные - при $\theta_a = -1,5$; штрихпунктирные - для жидкости с постоянной вязкостью при $\theta_a = -1,5$. 1 - $\xi = 1$; 2 - 0,2; 3 - $\xi = \Lambda$

При $\theta_a = 0$ в начале течения распределения температуры, скорости (рис.1) и перепада давления (рис.2) почти не отличаются от изотермических. При $\theta_a = 1,5$ жидкость

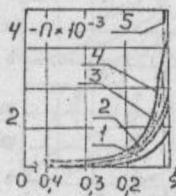


Рис.2. Зависимость безразмерного давления от ξ : 1- $\theta_a = -1,5$; 2-адиабатическое течение; 3-0; 4- $\theta_a = 1,5$; 5-течение при $\mu = \text{const}$

нагревается (тепловой поток $q = B1(\theta_N - \theta_a)$ отрицательный (рис.3)) только в тонком периферийном слое из-за малой теплопроводности, что ведет к уменьшению вязкости и уплотнению профиля скорости, а при $\theta_a = -1,5$ остывает (тепловой поток положительный), вследствие чего вязкость на периферии увеличивается, а профиль радиальной скорости вытягивается (рис.1).

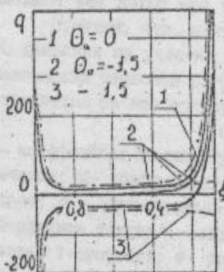


Рис.3. Зависимость безразмерного теплового потока через стенку конфузора от ξ . Сплошные линии - жидкость с переменной вязкостью, пунктирная - без учета диссипации энергии, стрихпунктирная - течение жидкости с $\mu = \text{const}$ и учетом диссипации

Дальнейшее течение приводит к увеличению средней по поперечному сечению канала скорости. Это ведет к увеличению градиента скорости, особенно в периферийной области, и, следовательно, к росту диссипации энергии у стенок канала, повышению там температуры и уменьшению вязкости (рис.1). Профиль радиальной скорости становится более наполненным, что приводит к еще большему увеличению градиента скорости у стенок канала.

На некотором расстоянии от входа эффекты, связанные с диссипацией энергии, становятся преобладающими и, хотя перепад давления возрастает, модуль его градиента уменьшается по сравнению с изотермическим течением во всех случаях (рис.2). Тепловой поток здесь сильно увеличивается, а при $\theta_a = 1,5$ меняет направление (рис.3).

Оценить влияние диссипации механической энергии на динамику течения можно по величине числа Нема-Гриффитса. Мы вычисляли Gn с помощью средней по длине образующей конфузора скорости, но т.к. диссипативные эффекты существенны лишь на выходе из конфузора, то в качестве масштаба скорости желательно брать среднюю скорость на выходе из канала. В этом случае $Gn = 225$. Если принять за масштаб среднюю по объему конфузора скорость, получим $Gn = 0,1$. Это не дает адекватного отражения процесса, но показывает, что на большей части конфузора теплота диссипации незначительна.

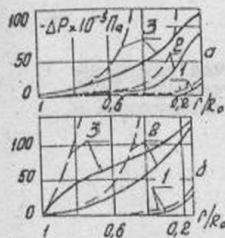


Рис.4. Зависимость размерного перепада давления от ξ для конфузоров ($\alpha = 2\theta_0 = 30^\circ$; б - 16°) и расходов (1- $6 \cdot 10^{-7} \text{ м}^3/\text{с}$; 2- $5 \cdot 10^{-5}$; 3- $5 \cdot 10^{-4}$). Сплошные линии - неизоэтермическое течение, штриховые - изоэтермическое

Увеличение расхода жидкости может изменить некоторые свойства течения, хотя при изоэтермическом течении сам конфузор моделирует течения с разными расходами. При увеличении Q зависимость $\Delta P(\xi)$ становится похожа на распределение давления в цилиндрическом канале [4]. Особенно отчетливо это видно при небольших углах раствора конфузора (рис.4).

Отметим, что, начиная с некоторого расхода, перепад размерного давления на участке конфузора растет незначительно, потому что маловязкий тепловоé пограничный слой при увеличении расхода распространяется на все большую часть конфузора.

Обозначения

K - коэффициент температуропроводности; E - энергия активации вязкого течения; K - коэффициент теплопередачи; P, P_0 - давление текущее и на входе; R^* - универсальная газовая постоянная; R, R_0, r_0 - радиальная координата текущая, входе и выхода; T, T_0 - температура текущая и на входе; V - скорость; θ - угловая координата; θ_0 - половина угла раствора; λ - коэффициент теплопроводности расплава; μ - динамическая вязкость; $Bi = KR_0/\lambda$ - безразмерный коэффициент теплопередачи; $\Lambda = \Gamma_0/R_0$.

Литература

1. Пономаренко В.Г., Потёбня Г.Ф., Ульев Л.М., Житинкин А.А., Ольховиков О.А. Определение реологических свойств высоковязких жидкостей с помощью автоматического капиллярного вискозиметра // Инж.- физ. журн. - Минск, 1990. - 13с. - Деп. в ВИНИТИ АН СССР 05.03.90, № 1224-В90.
2. Тадмор Э., Гогос К. Теоретические основы переработки полимеров. - М.: Химия, 1984. - 632 с.
3. Керман В.И. Медленные течения вязкой жидкости в коническом диффузоре // Изв. АН СССР. МЖТ. - 1972. - № 2. - С. 41-47.
4. Пономаренко В.Г., Потёбня Г.Ф., Ульев Л.М. Особенности течения высоковязких жидкостей в цилиндрических каналах // Пром. теплотехника. - 1985. - Т. 7, № 1. - С. 9-16.